

Povrchové fázové přechody a kritické jevy

Alexandr Malijevský, Praha

I. Úvod

Kdy« se J. C. Maxwell začal v pokročilém věku učit holandsky, nebylo to ze snobských, nýbr« ryze pragmatických důvodů. Dozvěděl se totiž o (v mateřtině psané) doktorské práci mladého van der Waalse [1], která elegantním způsobem s pomocí jednoduchého molekulárního modelu vysvětlovala fázové chování tekutin a existenci kritického bodu a která sehrála ve vývoji fyziky zlomovou úlohu. Tato molekulární teorie odstartovala spolu s experimenty T. Andrewse [2] klasickou éru teorie fázových přechodů a kritických jevů, na jejich« objevy navázaly práce P. Weisse a P. Curieho zabývajících se studiem magnetů a speciálně způsobu, jakým feromagneté ztrácejí při vyších teplotách své aktivní magnetické vlastnosti. Z velmi úzké a překvapující analogie mezi chováním tekutin v okolí kritického bodu a feromagnetů v okolí Curieho bodu se začíná již začátkem dvacátého století vynořovat jeden z nejpozoruhodnějších principů fyziky vůbec, tzv. princip *univerzality* [3], podle něho« kritické chování mnohých látek je zcela identické bez ohledu na jejich chemickou různorodost. Tato úzká podobnost byla vysvětlena a« s formulací jednoduché, ale nesmírně u«itečné Landauovy mesoskopické *teorie středního pole* (původně učené pro vysvětlení supratekutosti), v rámci ní« je rozpoznán význam symetrie a dimenze jako určujících faktorů pro chování systému v blízkosti kritického bodu. Ústředním bodem Landauovy teorii je předpoklad, «e volná energie systému je analytickou funkcí *parametru uspořádání*, jeho« hodnota slou«í k identifikaci dané fáze, a «e je tudíž mo«né volnou energii rozvést v mocniny tohoto parametru tak, aby byla respektována symetrie problému.

Konec této klasické etapy hlásí rok 1944, kdy L. Onsager nachází přesné řešení Isingova modelu ve dvou dimenzích. Výsledky této práce byly zdrcující, nebo ůdhalily nedostatečnost teorie středního pole a její predikce hodnot kritických koeficientů. Důvodem nezdaru celé třídy těchto klasických teorií (tj. Landauova typu) je neadekvátní zahrnutí vlivu tepelných fluktuací, jejich« význam roste s redukcí dimenze systému. Naopak, pro ka«dý kritický jev existuje jistá mezní nebo té« horní kritická dimenze d^* , nad ní« jsou výsledky plynoucí z aproximace středního pole již přesné.

Uspokojivé postupy zahrnující v dostatečné míře flukтуаční jevy se začaly postupně vyvíjet a« v průběhu edesátých a začátkem sedmdesátých let a byly zavřeny formulací teorie renormalizační grupy K. Wilsonem [5] (inspirované metodami z fyziky vysokých energií a té« „blokovou metodou“ L. Kadanoffa), která mimo jiné vysvětluje původ principu univerzality. Po dovření této etapy, jejím« cílem nebyla zdaleka jen kvantitativní korekce kritických exponentů, ale která vnesla zcela nový pohled na řadu fyzikálních dějů, se přenáí zájem o popis kritických jevů na slo«itější systémy, zahrnující například dynamické procesy, ale i jevy vyskytující se v tak rozličných oborech, jako je například kosmologie, biologie, ekonomie nebo sociologie.

Jedním z takových rozšíření je studium *povrchových fázových přechodů*, které se odehrávají na rozhraní dvou nebo více fází. Představme si pevnou podlo«ku, na kterou rozlijeme jisté množstvív kapaliny. Ze zkušenosti víme, «e mohou nastat dva případy: buď se kapalina rozprostře po podlo«ce, nebo se sna«í minimalizovat svůj kontakt s ní tak, «e vytvořív jednu či více kapiček. To, jaký stav kapalina zaujme, lze dobře popsat známými makroskopickými zákony zalo«ených na bilanci sil působících na společném rozhraní vech tří zúčastněných fází: pevné stěny, kapaliny i okolního plynu. Ovem a« na konci sedmdesátých let minulého století se ukázalo, «e i tak zdánlivě jednoduchý proces jako je smáčení na rovině podlo«ce s sebou nese celou řadu netriviálních aspektů, které makroskopické argumenty nejsou schopny postihnout. V první řadě se ukazuje, «e změnou vnějších parametrů (teplota, tlak, interakční potenciál podlo«ky...) mů«e kapalina přejít z jednoho stavu do druhého, a tato přeměna nese vechny rysy fázového přechodu. Znamená to, «e v okolí fázového přechodu vykazuje volná energie systému singulární chování, které se mů«e projevit buď v první derivaci volné energie, co« odpovídá fázovému přechodu prvního druhu, nebo ve vyších derivacích a pak se jedná o spojitý fázový přechod. Ji« tento samotný fakt generuje celou řadu otázek: Jaký je řád fázového přechodu smáčení? Jaký je vliv mikroskopických sil na charakter fázového přechodu? Jaký vliv mají tepelné fluktuace a dimenze systému? Jaké jsou v případě spojitého přechodu hodnoty kritických koeficientů a jsou jejich hodnoty univerzální, nebo závisejív na povaze molekulárních interakcí? Existujív ještě nějaké další, „přidru«ené“ fázové přechody související se smáčením? Jak se změní odpovědi na vechny tyto otázky se změnou geometrie podlo«ky?

Smyslem tohoto článku je představit alespoň zlomek z velmi zajímavé a spletité fenomenologie povrchových fázových přechodů a nastínit některé základní metody pro jejich popis. V tomto článku se zaměříme na případ smáčení na rovině, ideálně hladké podlo«ce a uká«eme si, «e i v tomto nejjednoduším případě existuje překvapivě bohatá struktura jevů, z nich« některé odolávaly uspokojivému vysvětlení a« do velmi nedávné minulosti. Přesto«e lze jejich popis (jak je zvykem především u počítačových simulací) formulovat pomocí diskrétních modelů Isingova typu a jednotlivé fáze označovat jako „+“ nebo „-“, zde se omezív na spojité modely popisující distribuci volně se pohybujících částic ve vnějším poli neměnného pole pevné stěny, přičem« vysokohustotní fázi budeme označovat jako kapalinu a

nízko-hustotní fázi jako plyn. Z hlediska fázových přechodů jsou oba přístupy ekvivalentní a, striktně řečeno, jejich řešení odpovídá nalezení partiční sumy/funkce pro daný model, což je obecně notoricky náročný a jen málokdy proveditelný úkol statistické fyziky. Natěsti se ukazuje, že pro popis povrchových jevů není vhodné takto mikroskopický přístup nutný a že je možné získat takřka veškerou podstatnou informaci pomocí mesoskopických modelů, které z problému „vyintegrují“ některé méně důležité stupně volnosti. Výsledkem je tak úloha popisující efektivní interakci mezi dvěma fázovými rozhraními, typicky stěna-kapalina a kapalina-plyn, jejichž průměrná vzdálenost určuje stav systému a hraje roli parametru uspořádání pro popis kritických jevů smáčení. V druhé části se pak zmíním o některých povrchových jevech, které se odehrávají na komplexnějších strukturách než je ideálně rovinná stěna, kde vstupují do hry geometrické parametry stěny indukující nové typy fázových přechodů a fluktuálních režimů, které sice souvisí se smáčením, ale jsou odlišné. U dostatečně strukturovaných modelů stěn je pak obzvláště působivá jemná souhra různých a vzájemně se prolínajících typů povrchových jevů, z nichž každá přispívá do celkové mozaiky výsledného fázového chování na daném povrchu.

II. Smáčení jako fázový přechod

Začneme následujícím mylenkovým experimentem. Uvažme nádobu s plynem opatřenou pístem, kterým můžeme kontrolovat tlak uvnitř nádoby. Atomy plynu jsou přitom v kontaktu se stěnou nádoby, přičemž předpokládáme, že atraktivní síly mezi atomy plynu a atomy stěny způsobují adsorpci velmi tenké, mikroskopické vrstvy kapaliny na povrchu stěny. Stlačujeme nyní píst tak, že tlak p nebo ekvivalentně chemický potenciál μ systému roste ke své satureované hodnotě p_0 resp. μ_0 , odpovídající rovnováze kapalina-pára v objemové fázi, tj. v nepřítomnosti vlivu stěn (dále ji jen „dvofázové rovnováze“). Předpokládáme přitom, že celý děj se odehrává za konstantní podkritické teploty $T < T_c$. Ve dvofázové rovnováze, formálně v limitě $\mu \rightarrow \mu_0^-$, mohou nastat dvě situace: buď se na povrchu stěny vytvoří *makroskopické* množství kapaliny, nebo nikoli. V prvním případě mluvíme o stěně, která je smáčena kapalinou; v tomto případě hraje stěna roli nukleačního centra, na kterém se vytváří nová fáze – kapalina, která je v rovnováze stejně stabilní jako její pára. Naopak, pokud říčka kapalného filmu zůstane i v rovnováze pouze na mikroskopické úrovni, pak kapalina stěnu nesmáčí a znamená to, že ke kondenzaci je zapotřebí jiného nukleačního centra než je stěna (např. zrnka prachu). Z hlediska smáčení přitom můžeme stav stěny kvantifikovat pomocí povrchové hustoty nebo též adsorpce Γ , definované jako přebytekové množství tekutiny, které je v systému přítomno v důsledku přítomnosti stěny na jednotku plochy a kterou definujeme jako

$$\Gamma(T, \mu) = \lim_{V, A \rightarrow \infty} \frac{N - \rho_g(T, \mu)V}{A}, \quad (1)$$

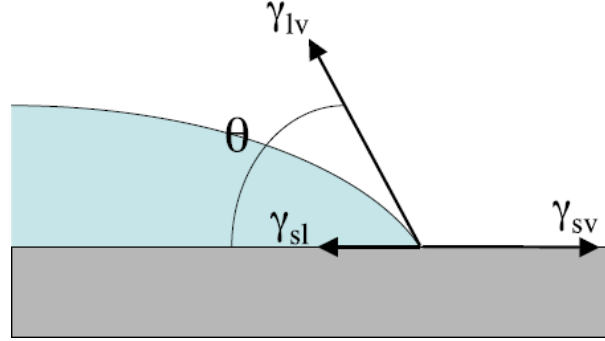
kde N je celkový počet atomů v systému (tedy v naší nádobě) o objemu V , A je plocha stěny a ρ_g odpovídá hustotě plynu v objemové fázi za daných podmínek. Z výše uvedeného je zřejmé, že pro povrchové jevy, jako byl náš mylenkový experiment, je Γ přirozeným parametrem uspořádáním. Pro stěnu, která nesmáčí, je hodnota tohoto parametru mikroskopická, a to i ve dvofázové rovnováze, zatímco pro stěnu, která je smáčena, bude Γ v blízkosti rovnováhy divergovat (vliv gravitace neuvažujeme).

Z pohledu teoretika indukují popsaný experiment přinejmením dvě naléhavé otázky. Za prvé, proč a za jakých podmínek dochází k fázovému přechodu smáčení a za druhé, jakým způsobem lze tento spojitý fázový přechod charakterizovat.

Abychom si odpověděli na první otázku, uvažme opět rozhraní stěna-plyn, na kterém se adsorbuje kapalným filmem průměrné říčky ℓ_π , jehož hodnota v blízkosti rovnováhy souvisí s adsorpcí přibližně jako $\Gamma \approx \ell_\pi(\rho_l - \rho_g)$, kde ρ_l je hustota satureované kapaliny. Pro danou hodnotu ℓ_π přitom existuje mnoho rozdílných konfigurací zvláště rozhraní kapalina-plyn, charakterizovaných profilem lokální říčky $\ell(\mathbf{r}_\parallel)$, který závisí na souřadnicích \mathbf{r}_\parallel paralelních se stěnou. Lokální říčka filmu tak může být menší či větší než ℓ_π , přičemž tyto fluktuace směrem od stěny jsou omezeny pouze podmínkou $\langle \ell(\mathbf{r}_\parallel) \rangle = \ell_\pi$, zatímco fluktuace povrchu filmu směrem ke stěně jsou omezeny i přítomností samotné (neprostupné) stěny. Z toho je zřejmé, že s průměrnou říčkou filmu ℓ_π roste počet dovolených konfigurací, a tedy i entropie systému. Vidíme tedy, že entropie upřednostňuje co možná nejvyšší hodnoty ℓ_π , a ideálně stav, kdy je stěna zcela smáčena. Lze tedy očekávat, že ke smáčení stěny bude docházet spíše za vyšších teplot, kdy je vliv entropie významný.

K tomu, zda stěna za dané teploty smáčena bude či nikoli, má ovšem kromě entropie co říct i energie systému. Její vliv můžeme charakterizovat *efektivním potenciálem* $W(\ell)$, kterým působí stěna na rozhraní kapalina-pára v závislosti na průměrné říčce filmu. Odpovídá-li minimum této funkce konečné hodnotě ℓ_π , pak bude energie preferovat „vázaný stav“, který zabraňuje úplnému smáčení stěny. V případě, že globální minimum $W(\ell)$ je v nekonečnu, bude rozhraní filmu od stěny odpuzováno a stěna smáčena bude. Jaká bude skutečná rovnovážná říčka filmu, bude nakonec záviset na bilanci obou faktorů, jak energie, tak entropie. Pokud zanedbáme entropické vlivy a neuvažujeme fluktuace říčky filmu okolo své střední hodnoty, redukuje se problém smáčení na aproximaci středního pole spočívající v prosté minimalizaci

$W(\ell)$. V opačném případě před námi stojí netriviální statisticko-mechanický problém, který spočívá v nalezení partiční funkce modelového systému, a to buď přesně (např. pomocí metody matice přechodu) nebo přibližně (pomocí teorie renormalizační grupy). To, do jaké míry je pro daný problém aproximace středního pole dostačující, přitom závisí na charakteru mezimolekulárních sil, na geometrii stěny (kterou zatím považujeme za rovinnou) a obecně na dimenzi systému.



Obrázek 1: Kapka s kontaktním úhlem $\theta > 0$.

To jsme se ale posunuli poněkud dál; vraťme se na moment na začátek 19. století, do doby, kdy Thomas Young studoval kapilární jevy pomocí kontaktního úhlu makroskopické kapky ležící na stěně, viz. Obr. 1. Young ukázal, že kontaktní je určen podmínkou rovnováhy

$$\gamma_{sg} = \gamma_{sl} + \gamma_{lg} \cos \theta \quad (2)$$

pomocí povrchových napětí na rozhraní stěna-plyn (sg), stěna-kapalina (sl) a kapalina-plyn (lg). Povrchové napětí je často interpretováno mechanicky jako síla potřebná k zvětšení plochy povrchu. Pro nás ale bude užitečnější její termodynamická formulace. Pro systém o objemu V a ploše mezifázového rozhraní A můžeme vyjádřit přírůstek energie pomocí fundamentální rovnice

$$dE = TdS + \mu dN - pdV + \gamma dA, \quad (3)$$

kde S je celková entropie systému a kde poslední člen vyjadřuje práci potřebnou ke zvýšení plochy mezifázového rozhraní o dA . To, že funkce $E(S, N, V, A)$ je homogenní řádu 1 ve vech svých proměnných, nám umožňuje použitím Eulerova teorému vyjádřit energii v integrálním tvaru:

$$E = TS + \mu N - pV + \gamma A. \quad (4)$$

Pro popis fázových přechodů je nejpříhodnější grand-kanonický soubor (fixujeme parametry μ , V a T), v němž roli volné energie hraje velký potenciál Ω , související s vnitřní energií dvojitou Legendreovou transformací

$$\Omega = E - TS - \mu N, \quad (5)$$

jehož objemovou část (nezahrnující příspěvek fázového rozhraní) lze vyjádřit jako $\Omega_b = -pV$.

Srovnáním (4) a (5) dostáváme, že povrchové napětí lze též definovat jako povrchovou hustotu volné energie

$$\gamma = \lim_{V, A \rightarrow \infty} (\Omega - \Omega_b)/A. \quad (6)$$

Lze ukázat (viz. např. [6]), že pro diferenciál funkce $\gamma(T, \mu)$ platí

$$d\gamma = -S_s dT - \Gamma d\mu, \quad (7)$$

kde povrchová hustota entropie S_s je definovaná analogicky k (1) nebo (6).

Vraťme se k našemu popisu smáčení rovinné stěny pomocí říčky kapalného filmu ℓ_π a ukažme, jak jej lze propojit s makroskopickou definicí smáčení založenou na Youngově kontaktním úhlu. Pro rozhraní stěna-plyn je povrchovou hustotou volné energie γ_{sg} . Je-li stěna smáčena, znamená to, že se na stěně adsorbuje kapalným film makroskopické

írky. V tomto případě je efektivní interakce mezi stěnou a rozhraním kapalina-plyn nulová (a můžeme položit $W(\ell) = 0$ pro $\ell \rightarrow \infty$), takže cena, kterou systém musí zaplatit za adsorpci kapalného filmu spočívá v přítomnosti rozhraní stěna-kapalina, její hodnota je γ_{sl} a dále za rozhraní kapalina-plyn, její výše je γ_{lg} . Povrchovou energii na jednotku plochy odpovídající systému nasyceného plynu v přítomnosti stěny je v tomto případě tedy

$$\gamma_{sg} = \gamma_{sl} + \gamma_{lg}. \quad (8)$$

Pokud stěna smáčena není, je írka rozhraní konečná a odpovídá minimu funkce $W(\ell) < W(\infty)$. Hodnota $W(\ell_\pi)$ je v tomto případě záporná, a dostáváme tak

$$\gamma_{sg} = \gamma_{sl} + \gamma_{lg} + W(\ell_\pi) < \gamma_{sl} + \gamma_{lg}. \quad (9)$$

Srovnáním relací (8) a (9) s (2) dospíváme k tomuto závěru: Je-li stěna smáčena, adsorbuje se na ní makroskopické množství kapalného filmu $\ell_\pi \rightarrow \infty$, což odpovídá kontaktnímu úhlu $\theta = 0$. Pokud stěna smáčena není, pak hodnota ℓ_π zůstává mikroskopická a kontaktní úhel je $\theta > 0$. V tomto případě se makroskopické množství saturované kapaliny nanesené na stěnu rozpadne na malé kapičky s kontaktním úhlem daným rovnicí (2). Takový stav stěny se také někdy označuje jako částečné smáčení.

III. Fenomenologie smáčení a kritické koeficienty

Z předchozích úvah vyplynulo, že to, zda bude stěna smáčena nebo ne, závisí významně na teplotě. V roce 1977 publikuje J. Cahn zásadní článek [7], ve kterém argumentuje, že jakmile se teplota systému začne přibližovat kritické teplotě kapalina-pára T_c , ke smáčení dojít musí. Jeho argument vychází z nerovnice (9) a uvažuje teplotu blízkou T_c , při níž povrchové napětí kapalina-pára klesá k nule jako

$$\gamma_{lg} \sim (T_c - T)^{2\nu}, \quad (10)$$

kde $\nu = 0.65$ pro tří-dimenzionální systém. Druhá část jeho argumentace spočívá v tom, že rozdíl $\gamma_{sg} - \gamma_{sl}$ je úměrný rozdílu hustot kapaliny a plynu vzhledem k tomu, že povrchová energie vzniká v důsledku interakce atomů stěny s atomy plynu resp. kapaliny. V blízkosti kritické teploty tak platí

$$\gamma_{sg} - \gamma_{sl} \propto (\rho_l - \rho_g) \sim (T_c - T)^\beta, \quad (11)$$

kde $\beta \approx 1/3$. Srovnání teplotních závislostí (10) a (11) ukazuje, že podmínka částečného smáčení (9) musí být pro teplotu dostatečně blízkou k T_c narušena, a tedy že stěna v blízkosti kritického bodu musí být smáčena.

Ačkoli detailnější analýza smáčení rovinné stěny v blízkosti kritického bodu ukazuje, že i přes svou přesvědčivost nejsou tyto makroskopické argumenty zcela přesné, znamenala Cahnova práce přelom v teorii fázových přechodů, kterou tak rozšířila o popis povrchových (mezifázových) jevů. Její vývoj nebyl uš od samého počátku bez kontroverze. Cahnova teorie předvídá, že na křivce fázové rovnováhy existuje teplota smáčení $T_w < T_c$, při které dochází k fázovému přechodu *smáčení prvního druhu*, kdy írka kapalného filmu (adsorpce) skočí z konečné hodnoty na hodnotu nekonečnou (makroskopickou). Tento jev byl skutečně poměrně záhy ověřen experimentálně [8]. V té době vak také publikuje Sullivan výsledky své elegantní mikroskopické teorie [9], ze které vyplývá, že fázový přechod v T_w je *spojitý*; v tomto případě na křivce fázové rovnováhy diverguje Γ s teplotou spojitě pro $T \rightarrow T_w^-$. Tento jev se označuje jako *spojitý* nebo *kritické smáčení*.

Stěna může být smáčena pouze tehdy, je-li adsorbovaná fáze (kapalina) termodynamicky stabilní, tedy pouze ve dvoufázové rovnováze ($\delta\mu \equiv \mu_0(T) - \mu = 0$). Oba zmiňované fázové přechody odpovídají termodynamickým cestám, při kterých se pohybujeme po křivce fázové rovnováhy kapalina-pára a zvyšujeme teplotu až k T_w , kdy dojde ke smáčení. Druhý způsob jak může dojít ke smáčení odpovídá naemu mylenkovému experimentu, při kterém se k rovnováze přibližujeme po izotermě, za předpokladu, že $T > T_w$. Tento fázový přechod se nazývá *úplné smáčení*.

Odkud se vlastně bere náe oprávnění označovat tyto jevy za fázové přechody? Fázový přechod je jev, při kterém volná energie systému vykazuje singulární chování. To, že tak tomu je ve vech třech zmiňovaných případech, je zjevné z toho, že dochází k divergenci Γ . Konkrétně, úplné smáčení je spojitým fázovým přechodem proto, že první derivace volné energie diverguje pro $\mu = \mu_0(T > T_w)$, jak plyne z rovnice (7):

$$\frac{\partial\gamma}{\partial\mu} = -\Gamma. \quad (12)$$

Tuto divergenci charakterizujeme neuniversálním kritickým exponentem β_{co} :

$$\ell \propto \Gamma \sim \delta\mu^{-\beta_{co}}, \quad (13)$$

jeho« hodnota závisí na charakteru mezimolekulárních sil přítomných v daném systému. Z hlediska povrchových jevů lze rozdělit interakce do dvou tříd: na dlouhodosahové potenciály, které asymptoticky ubývají jako převrácená mocnina vzdálenosti a na krátkodosahové potenciály, které ubývají exponenciálně nebo rychleji. Pro první (daleko bě«nější) případ, lze ukázat, «e v případě kdy dominantní (tj. ubývající v nekonečnu nejpomaleji) příspěvek k celkové mezičásticové interakci má tvar $u \propto r^{-(4+p)}$, je mo«né vyjádřit efektivní potenciál jako

$$W(\ell) = \delta\mu(\rho_l - \rho_g)\ell + \frac{A(T)}{\ell^p} + \frac{B(T)}{\ell^q} + \dots, \quad (14)$$

kde typicky $q = p+1$ a speciálně pro (neretardované) van der Waalsovy (disperzní) síly ve třech dimenzích $p = 2$. První člen na pravé straně zahrnuje termodynamickou cenu za přítomnost kapalně fáze, která je v objemové fázi nestabilní; je kladný pro úplného smáčení ($\mu < \mu_0(T)$) a nulový pro smáčení prvního druhu a kritické smáčení, které probíhá za podmínky dvoufázové rovnováhy ($\mu = \mu_0(T)$). Další členy rozvoje jsou důsledkem mikroskopických interakcí mezi atomy stěny a tekutiny, přičem« koeficient u nejní«šího řádu $A(T)$ se nazývá Hamakerova konstanta.

Pro rovinnou stěnu zahrnuje efektivní potenciál veškerou závislost povrchové volné energie na šířce kapalného filmu. Její hodnota odpovídá minimu funkce

$$\tilde{\gamma}_{sg}(T, \delta\mu; \ell) = \gamma_{sl} + \gamma_{lg} + W(\ell), \quad (15)$$

tak«e $\gamma_{sg}(T, \delta\mu) = \tilde{\gamma}_{sg}(T, \delta\mu; \ell_\pi)$ [10]. Dosazením (14) do (15) a minimalizací $\tilde{\gamma}_{sg}(T, \delta\mu; \ell)$ podle ℓ dostáváme

$$\ell_\pi \propto \Gamma \sim \delta\mu^{-\frac{1}{p+1}}, \quad (16)$$

z čeho« tak plyne $\beta_{co} = 1/(p+1)$ a speciálně $\beta_{co} = 1/3$ pro disperzní síly. Jetě doplníme, «e pro krátkodosahové potenciály $\beta_{co} = 0(\ln)$, a tedy $\ell_\pi \sim -\ln(\delta\mu)$.

Chování singulárního příspěvku k povrchovému napětí γ_{sg} pro úplné smáčení charakterizuje kritický exponent α_{co} ,

$$f_{sing}(T, \delta\mu) \equiv \gamma_{sg} - \gamma_{sl} - \gamma_{lg} \sim \delta\mu^{2-\alpha_{co}}. \quad (17)$$

Z relace (12) ovem vyplývá, «e hodnoty kritických koeficientů α_{co} a β_{co} nejsou nezávislé, nýbr« jsou vázány vztahem

$$\beta_{co} = \alpha_{co} - 1. \quad (18)$$

V případě procesu kritického smáčení roste šířka adsorbovaného filmu spojitě pro $T \rightarrow T_w$ a tuto divergenci charakterizujeme pomocí kritického koeficientu β_s :

$$\ell_\pi \sim t^{\beta_s}, \quad (19)$$

kde jsme zavedli označení $t \equiv (T_w - T)/T_w$. Je zřejmé, «e pro $T > T_w$, kdy je stěna smáčena, musí efektivní potenciál klesat k nule shora, a tudí« speciálně pro (14) je $A(T > T_w)$ kladné. Naopak pro $T < T_w$ existuje „vázaný stav“ odpovídající minimu $W(\ell)$ pro konečné ℓ , jeho« poloha se s rostoucí teplotou spojitě posouvá k nekonečnu a $A(T < T_w)$ je záporné (viz. Obr. 2, vpravo). Z toho plyne, «e ke kritickému smáčení dojde právě kdy« $A = 0$ (a $B > 0$), a tedy «e $A \sim t$ (v těchto úvahách je patrná analogie s Landauovou teorií kritického bodu).

Pro určení hodnoty β_s pro disperzní síly postupujeme podobně jako v případě úplného smáčení a minimalizujeme (15), přičem« klademe $\delta\mu = 0$. Dostáváme

$$\ell_\pi^{q-p}(T, \delta\mu = 0) = -\frac{qB}{pA}, \quad T < T_w, \quad (20)$$

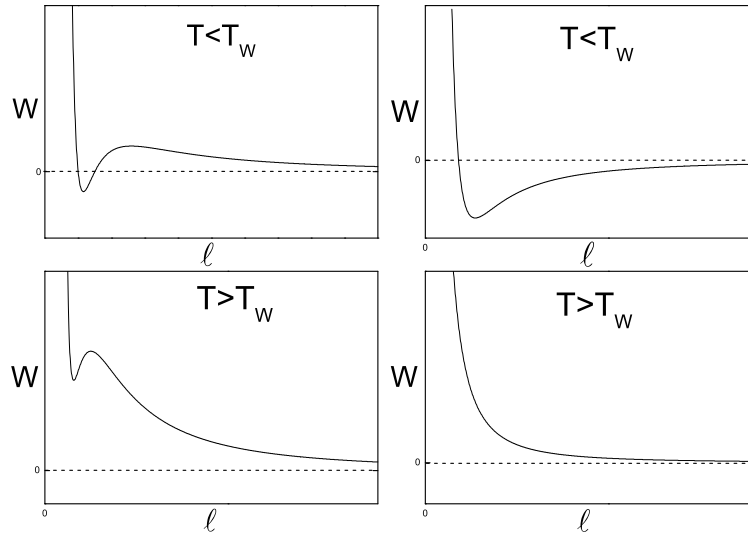
co« pro experimentálně nejrelevantnější případ van der Waalsových sil ve třech dimenzích $p = 2$, $q = 3$ dává

$$\ell_\pi(T, \delta\mu = 0) = -\frac{3B}{2A}, \quad T < T_w, \quad (21)$$

a tedy

$$\ell_\pi \sim t^{-1} \Rightarrow \beta_s = -1, \quad (22)$$

(obecně $\beta_s = -1/(q-p)$). Pro krátkodosahové potenciály je divergence opět logaritmická $\ell_\pi(T, \delta\mu = 0) \sim -\ln|t|$, a tedy $\beta_s = 0(\ln)$.



Obrázek 2: Efektivní potenciál pro případ fázového přechodu smáčení prvního druhu (vlevo) a kritického (spojitého) smáčení (vpravo). Systémy vykazující fázový přechod prvního druhu se vyznačují přítomností energetické bariéry mezi dvěma potenciálovými minimy, jejich« hodnoty se rovnají při teplotě $T = T_w$. Pro kritické smáčení je charakteristická přítomnost jednoho minima, jeho« poloha se spojitě posouvá do nekonečných hodnot a vymizí pro $T \rightarrow T_w$.

Kritický exponent charakterizující singulární chování povrchového napětí pro kritické smáčení

$$f_{\text{sing}}(T, \delta\mu = 0) \sim t^{2-\alpha_s}. \quad (23)$$

je roven $\alpha_s = -1$, jak vyplývá z dosazení předchozích výsledků do (15) a kde jsme polo«ili $p = 2$. Odsud také mů«eme okam«itě dostat teplotní závislost kontaktního úhlu. Srovnáním (2), (9) a (23) dostáváme vztah mezi exponentem α_s a kontaktním úhlem

$$1 - \cos \theta \sim t^{2-\alpha_s}, \quad (24)$$

z čeho« pro $\alpha_s = -1$ a $t \rightarrow 0$ kdy $\theta \rightarrow 0$ plyne

$$\theta \sim t^{3/2}. \quad (25)$$

Vidíme tak, «e v případě kritického smáčení klesá kontaktní úhel v blízkosti teploty smáčení k nule nejen spojitě, ale navíc hladce.

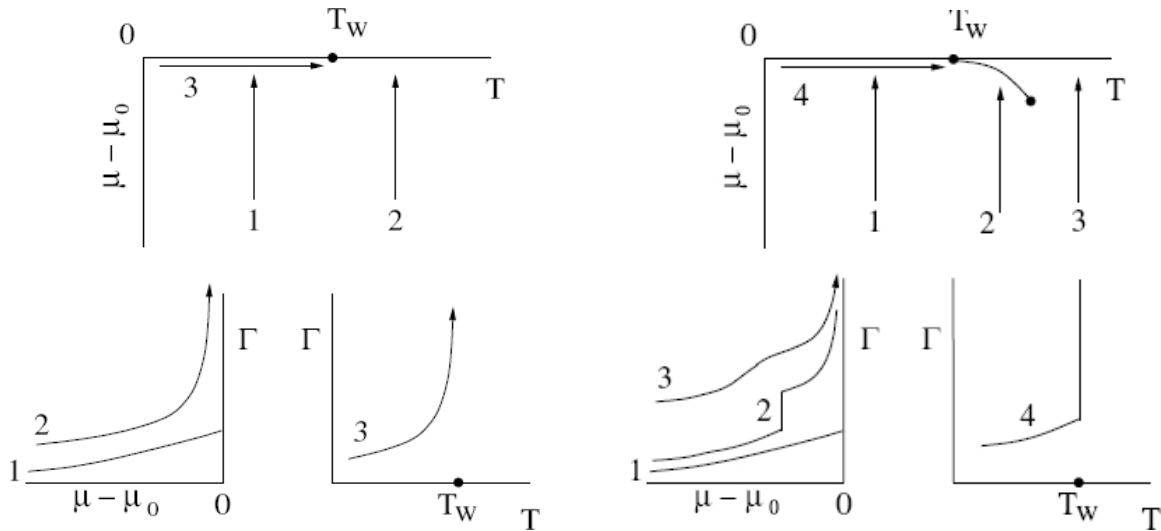
Mechanismus smáčení je odliný, jedná-li se o fázový přechod prvního druhu. Tento případ je charakterizován přítomností energetické bariéry u efektivního potenciálu a soutě«ením dvou minim funkce $W(\ell)$ (viz. Obr. 2, vlevo). Zatímco v případě kritického smáčení se minimum funkce $W(\ell)$ posouvá směrem k nekonečným hodnotám a« pro $T = T_w$ vymizí, v tomto případě minimum funkce $W(\ell)$ pro konečné ℓ roste s rostoucí teplotou od záporných hodnot (kdy je minimum globálním) k nule pro $T = T_w$, kde se vyrovná limitní hodnotě $W(\ell \rightarrow \infty)$. Pro vyšší teploty představuje toto minimum pro konečné ℓ pouze metastabilní stav. Je zřejmé, «e tvar efektivního potenciálu vy«aduje nyní zahrnutí minimálně jetě jednoho členu vyššího řádu v (14) (příčeme« $A < 0$ a $B > 0$), a je tedy zapotřebí uva«ovat i účinek krátkodosahových příspěvků mezimolekulárních sil. Proto«e se jedná o fázový přechod prvního druhu, musí dojít k výměně latentního tepla, a tedy ke skoku povrchové entropie

$$S_s = -\frac{\partial \gamma_{\text{sg}}}{\partial T}, \quad (26)$$

a tedy k nespojitosti v derivaci kontaktního úhlu podle teploty v bodě $t = 0$. Vzhledem k tomu, «e pro $t \rightarrow 0^+$ vyplývá z (24)

$$\frac{d \cos \theta}{dT} \sim t^{1-\alpha_s}, \quad t \rightarrow 0^+, \quad (27)$$

určuje podmínka nespojitosti hodnotu $\alpha_s = 1$, tak«e při smáčení prvního druhu ubývá kontaktní úhel pro $t \rightarrow 0^+$ ($T \rightarrow T_w^-$) jako $\theta \sim t^{1/2}$. Z charakteru chování kontaktního úhlu v blízkosti teploty smáčení tak lze experimentálně celkem snadno rozhodnout, o jaký řád fázového přechodu se jedná.



Obrázek 3: **Vlevo:** Povrchový fázový diagram znázorňující případ **kritického smáčení**. Nad teplotou T_w je stěna smáčena, pod teplotou T_w je smáčena pouze částečně. Na diagramu jsou znázorněny tři termodynamické cesty. Cesty 1 a 2 znázorňují izotermu, podél nichž roste chemický potenciál směrem k dvofázové rovnováze. Pro cestu 2, kdy $T > T_w$, dochází v blízkosti rovnováhy k úplnému smáčení. Cesta 3 sleduje dvofázovou rovnováhu a její limita $T \rightarrow T_w^-$ odpovídá kritickému smáčení. Chování adsorpce pro daný proces je zobrazeno v grafech dole. **Vpravo:** Povrchový fázový diagram znázorňující případ **smáčení prvního druhu**. Nad teplotou T_w je stěna smáčena, pod teplotou T_w je smáčena pouze částečně. Na diagramu jsou znázorněny čtyři termodynamické cesty. Cesty 1, 2 a 3 znázorňují izotermu, podél nichž roste chemický potenciál směrem k dvofázové rovnováze. Pro cesty 2 a 3, kdy $T > T_w$, dochází v blízkosti rovnováhy k úplnému smáčení. Podél cesty 2 dochází navíc ke skoku v adsorpci o konečnou hodnotu v bodě průtnutí křivky předsmáčení. Tento skok se zmenšuje s rostoucí teplotou (a se vzdáleností od rovnováhy), a« vymizí zcela v kritickém bodě předsmáčení. K fázovému přechodu smáčení prvního druhu dojde při teplotě T_w podél cesty 4. Chování adsorpce pro daný proces je zobrazeno v grafech dole.

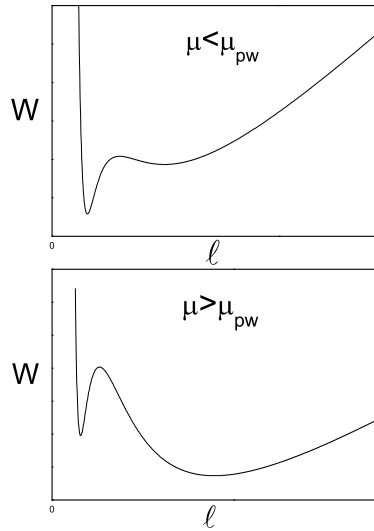
Podobně jako fázové diagramy objemových systémů zobrazují mno«inu bodů, v nichž má pro dané hodnoty termodynamických parametrů volná energie singularitu, znázorňují *povrchové fázové diagramy* mno«inu bodů, kde vykazují singularní chování povrchová volná energie. Na obrázku 3 jsou schematicky tyto diagramy zobrazeny pro kritické smáčení (vlevo) a smáčení prvního druhu (vpravo). Pro fázový přechod prvního druhu je charakteristická ještě přítomnost křivky zobrazující fázový přechod *předsmáčení*. Tato křivka, která je prodlou«ením singularity volné energie v T_w do vyších teplot a pro $\delta\mu > 0$ odpovídá skoku v adsorpci během procesu úplného smáčení o konečnou hodnotu, která se s teplotou postupně zmenšuje, a« vymizí v kritickém bodě předsmáčení T_{cpw} , který spadá do třídy univerzality dvoudimenzionálního Isingova modelu. Oba faktory, totiž «e křivka předsmáčení je krátká i to, «e se ke křivce rovnováhy $\delta\mu = 0$ napojuje tečně, jsou důvody, proč se na experimentální ověření existence tohoto fázového přechodu čekalo a« do devadesátých let [11], ačkoli k jeho předpovězení dolo ji« v raných stádiích teorie smáčení [7, 12]. Průběh efektivního potenciálu pro tento proces je znázorněn na obrázku 4.

IV. Vliv fluktuací, korelační funkce

A« dosud byly vechny na úvahy na úrovni teorie středního pole, která uva«uje pouze nejpravděpodobnější stav systému. Vliv fluktuací je mo«né zahrnout pomocí modelu efektivního hamiltoniánu

$$H[\ell] = \int dx \left\{ \frac{\gamma_{lg}}{2} (\nabla \ell(\mathbf{x}))^2 + W(\ell(\mathbf{x})) \right\}, \quad (28)$$

kde \mathbf{x} je $d - 1$ -dimenzionální vektor paralelní se stěnou (d je dimenze systému). V rámci tohoto modelu uva«ujeme odchylky $\delta\ell \equiv \ell(\mathbf{x}) - \ell_\pi$ lokální výky rozhraní od jeho střední hodnoty $\ell_\pi = \langle \ell \rangle$. První člen v hamiltoniánu zahrnuje tepelnými fluktuacemi generovaný příspěvek odpovídající (entropicky výhodnému a energeticky nevýhodnému) zvrásnění rozhraní kapalina-pára, které vede k nárůstu její plochy o faktor $\sqrt{1 + (\nabla \ell)^2} \approx \frac{1}{2}(\nabla \ell)^2$; druhý člen pak



Obrázek 4: Ilustrativní průběh efektivního potenciálu znázorňující fázový přechod předsmáčení. Mimo dvoufázovou rovnováhu ($\delta\mu = 0$) nemůže být stěna zcela smáčena díky přítomnosti prvního členu v (14). Srovnání s průběhem funkce $W(\ell)$ pro případ smáčení prvního druhu (Obr. 2, vlevo) ukazuje, že přidání lineárního členu v ℓ posune druhé minimum do konečné vzdálenosti. Obě minima mají stejnou hodnotu pro $\mu = \mu_{pw}$, kdy dojde ke skoku v írce filmu o konečnou hodnotu, a na stěně tak mohou koexistovat dva filmy o různých (konečných) írkách. Situace odpovídá cestě 2 na Obr. 3, vpravo.

popisuje efektivní interakci mezi tímto rozhraním a stěnou. Na úrovni středního pole, kdy zanedbáváme vliv fluktuací, je $\nabla\ell(\mathbf{x}) \equiv 0$ (pro rovinnou stěnu), takže rovnovážný stav systému je dán prostou minimalizací energetického příspěvku k $H[\ell]$, tedy podmínkou $W'(\ell) = 0$ s řešením $\ell(\mathbf{x}) = \ell_\pi$, což vede na výše uvedené výsledky. Vliv fluktuací lze v prvním přiblížení studovat pomocí funkcionálního rozvoje (28) do druhého řádu okolo extrému $H[\ell_\pi]$:

$$H[\ell_\pi + \delta\ell] \approx H[\ell_\pi] + \frac{1}{2} \int d\mathbf{x} \{ \gamma_g \nabla^2 + W''(\ell_\pi) \} (\delta\ell(\mathbf{x}))^2, \quad (29)$$

Vyjádříme-li tyto fluktuace ve Fourierově obraze, $\delta\ell(\mathbf{x}) = \sum_{\mathbf{k}} e^{i\mathbf{k}\cdot\mathbf{x}} \delta\tilde{\ell}(\mathbf{k})$, dostáváme pro druhý člen v (29) výraz

$$H_G[\ell] = \frac{1}{2V} \sum_{\mathbf{k}} \{ \gamma_g k^2 + W''(\ell_\pi) \} |\delta\tilde{\ell}(\mathbf{k})|^2, \quad (30)$$

kteřý popisuje vliv fluktuací na úrovni *gaussovské aproximace*. Odsud použitím ekvipartičního teorému okamžitě vyplývá:

$$\langle |\delta\tilde{\ell}(\mathbf{k})|^2 \rangle = \frac{k_B T V}{\gamma_g} \frac{1}{\xi_{\parallel}^{-2} + k^2}, \quad (31)$$

kde jsme zavedli veličinu s rozměrem délky

$$\xi_{\parallel} \equiv \left(\frac{\gamma_g}{W''(\ell_\pi)} \right)^{\frac{1}{2}}, \quad (32)$$

její význam vyplyne za chvíli.

Korelaci mezi fluktuacemi v lokální výšce rozhraní popisuje korelační funkce

$$G(x_{12}) \equiv \langle \delta\ell(\mathbf{x}_1) \delta\ell(\mathbf{x}_2) \rangle = \langle \delta\ell(\mathbf{0}) \delta\ell(\mathbf{x}_{12}) \rangle, \quad (33)$$

kde jsme využili translační symetrie podél roviny stěny. Vzhledem k tomu, že $\langle |\delta\tilde{\ell}(\mathbf{k})|^2 \rangle = V \tilde{G}(\mathbf{k})$, dostáváme s použitím (31)

$$\tilde{G}(k) = \frac{k_B T}{\gamma_g} \frac{1}{\xi_{\parallel}^{-2} + k^2}, \quad (34)$$

a tedy

$$G(x) = \frac{k_B T}{\gamma_{lg}} \frac{1}{(2\pi)^{d-1}} \int \frac{d^{d-1} k e^{i\mathbf{k}\cdot\mathbf{x}}}{\xi_{\parallel}^{-2} + k^2}, \quad (35)$$

kde implicitně předpokládáme, že velikost vlnového vektoru k je omezena vysokofrekvenčním „cut-offem“ Λ . Lorentzovský tvar Fourierova obrazu korelační funkce je důsledkem aproximace (29) a je charakteristický pro *Ornsteinovu-Zernikeho (OZ) teorii* korelačních funkcí.

Důležitou vlastností korelační funkce je její kálovací charakter. Transformací $k \rightarrow k\xi$ můžeme $G(x)$ vyjádřit ve formě

$$G(x) = \frac{1}{x^{d-3}} g(x/\xi_{\parallel}). \quad (36)$$

přičemž z asymptotického tvaru $G(x)$ ($x \gg \xi_{\parallel}$):

$$G(x) \sim x^{(2-d)/2} e^{-x/\xi_{\parallel}}, \quad (37)$$

lze interpretovat ξ_{\parallel} jako *paralelní korelační délku*, která tak představuje přirozenou délkovou měřítkou pro korelační funkci. Z definičního vztahu (32) je zřejmé, že paralelní korelační délka diverguje pro $t \rightarrow 0$ a tuto divergenci lze charakterizovat pomocí kritického exponentu ν_{\parallel} definovaném relací $\xi_{\parallel} \sim t^{-\nu_{\parallel}}$, přičemž $\nu_{\parallel} = (q+2)/2(q-p)$ pro dlouhodobosahové potenciály (14).

Výsledky OZ teorie, a speciálně tvar korelační funkce (36), jsou pro povrchové jevy enormně důležité. Tak například tzv. sumační pravidlo (někdy též označováno jako flukuační-disipační teorém, nebo se jedná o vztah mezi korelační a rezonivní funkcí) vyplývající z rovnic (34) a (32) dává do vztahu „susceptibilitu“ $\chi^{-1} = \beta \partial^2 f_s / \partial \ell^2$ a korelační funkci:

$$\chi = \tilde{G}(0) \propto \int G(x) d^{d-1} x = \int d^{d-1} x \frac{1}{x^{d-3}} g(x/\xi_{\parallel}) = \int d^{d-1} y \frac{\xi_{\parallel}^2}{y^{d-3}} g(y) \propto \xi_{\parallel}^2. \quad (38)$$

kde jsme použili kálovací relaci (36). Pro $t \rightarrow 0$ χ zjevně diverguje a tuto divergenci lze charakterizovat zákonem $\chi \sim t^{-\gamma}$ definujícím kritický exponent γ . Z poslední rovnice pak okamžitě dostáváme

$$\gamma = 2\nu_{\parallel}. \quad (39)$$

Analogické výsledky vyplývající z OZ teorie dostáváme i pro objemové systémy (dimenze $d-1$ je nahrazena d). Zde ovšem nemá přesné (tedy po zahrnutí vlivu fluktuací) kritické chování korelační funkce tvar analogický k (36), ale

$$G(x) = \frac{1}{x^{d-2-\eta}} g(x/\xi), \quad (40)$$

z čehož také vyplývá

$$\gamma = (2-\eta)\nu. \quad (41)$$

Přítomnost nového (nenulového) exponentu η souvisejícího s tzv. anomální dimenzí má hluboké opodstatnění. Připomeňme si, že OZ teorie bere v úvahu pouze dlouhovlnné fluktuace, tedy takové, kdy se parametr uspořádání mění pomalu; vynechává kvadratické příspěvky gradientu parametru uspořádání zanedbává. Tyto dlouhovlnné fluktuace můžeme charakterizovat korelační délkou ξ (objemovou analogií k ξ_{\parallel}), kterou OZ teorie definuje a která v kritickém bodě diverguje s koeficientem ν . Kdyby korelační délka byla jedinou relevantní délkovou měřítkou v kritické oblasti, dospěli bychom dimenzionální analýzou k tomu, že $\eta = 0$, a tedy že OZ teorie je přesná! To by ovšem vedlo k paradoxu, protože OZ teorie je stále na úrovni teorie středního pole, její výsledky jsou v rozporu s experimentem. Východiskem z tohoto problému je přítomnost ještě jiné délkové měřítky, která musí být přesnou teorií zahrnuta. Bude-li vliv fluktuací významný, můžeme například v plynné fázi kromě plynulé změny hustoty docházet k nukleaci zárodků kapalné fáze. Jejich rozměr, který rozhodně není nijak popsán OZ teorií, vstupuje do děje jako druhá a dokonce významnější veličina s rozměrem délky. Je-li zahrnuta, dostáváme nenulovou hodnotu η , která tak měří „míru nepřesnosti“ OZ teorie.

Výbornou zprávou je, že pro povrchové jevy je tvar korelační funkce (36) přesný i v případě, kdy je vliv fluktuací významný, a tedy že $\eta = 0$ [13]. Analogií nukleace nové fáze je právě smáčení na stěně, kdy írka adsorbovaného filmu diverguje. Tato divergence je doprovázena fluktuacemi, které jsou zcela lokalizovány na rozhraní filmu a jiné fluktuace související se vznikem dalších flukuačních center se jim nevyskytují (předpokládáme, že nejsme v těsné blízkosti kritické teploty T_c). Tyto povrchové fluktuace, tzv. *kapilární vlny*, jsou OZ teorií ovšem popsány velmi dobře, nebo odpovídají dlouhovlnným módům této teorie a mají za následek postupné odpoutání rozhraní filmu od stěny. Význam OZ teorie pro povrchové jevy je tak ještě větší než pro systémy objemové.

V. kálovací re«imy

Zvrásnění rozhraní v důsledku tepelných fluktuací můžeme kvantifikovat pomocí *hrubosti*, její kvadrát definujeme jako $\xi_{\perp}^2 \equiv \langle \delta \ell^2 \rangle$. Z definice je zřejmé, že $\xi_{\perp}^2 = G(0)$, a tedy

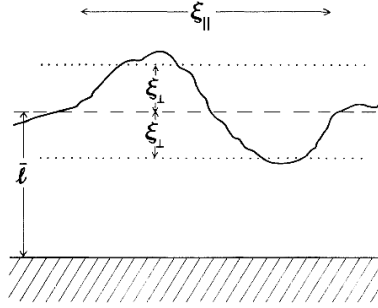
$$\xi_{\perp}^2 = \frac{k_B T}{\gamma_g} \frac{1}{(2\pi)^{d-1}} \int \frac{d^{d-1}k}{\xi_{\parallel}^{-2} + k^2}, \quad (42)$$

$$\propto \int_0^{\Lambda} \frac{dk k^{d-2}}{\xi_{\parallel}^{-2} + k^2}. \quad (43)$$

U tohoto výrazu se na chvíli zastavíme. Charakter integrálu zjevně závisí na dimenzi a lze jej rozdělit na tři případy:

$$\xi_{\perp} \sim \begin{cases} \Lambda^{d-3} & d > 3 \\ (\ln(\Lambda \xi_{\parallel}))^{\frac{1}{2}} & d = 3 \\ \xi_{\parallel}^{(3-d)/2} & d < 3 \end{cases} \quad (44)$$

Vidíme tedy, že přítomnost ξ_{\parallel} regularizuje integrál v (43) vůči infračervené divergenci (vůči ultrafialové divergenci je integrál regularizován uvažováním „cut-offu“ Λ ; ten odpovídá převrácené hodnotě nejmenší délkové kály, což pro diskrétní systémy Isingova typu je mříčková konstanta a pro spojité systémy je to atomová vzdálenost nebo korelační délka ξ). V nepřítomnosti stěny (kdy $\xi_{\parallel} = 0$) by integrál ve výrazu pro hrubost (43) divergoval pro relevantní dimenze $d \leq 3$ a taktéž by divergovala korelační funkce $G(x)$ pro $x \rightarrow \infty$. To znamená, že pro tyto dimenze je volné rozhraní kapalina-pára *hrubé* v tom smyslu, že pokud bychom znali polohu tohoto rozhraní v nějakém daném bodě, nejsme schopni prohlásit nic o poloze rozhraní v jiném, hodně vzdáleném bodě. To souvisí s tím, že pro volné rozhraní je energie nutná pro jeho posunutí nulová, jak je také vidět z výrazu (30) pro $k \rightarrow 0$. Jinými slovy, mód $k = 0$ je pro volné rozhraní *Goldstoneův mód*. Z těchto úvah také vyplývá obecná důležitost dlouhovlnných fluktuací (kapilárních vln) pro jevy na fázových rozhraní.



Obrázek 5: Ilustrace fluktuujícího rozhraní kapalina-pára vázaného k rovinné stěně.

Naopak rozhraní, které je vázáno ke stěně (ℓ_{π} je konečné) nikdy hrubé ve výše uvedeném smyslu není. Výchyly výky rozhraní mohou být značné, ale vždy konečné. Omezená je i korelační funkce, což znamená, že známe-li výky rozhraní $\ell(\mathbf{x})$ v jednom bodě, pak víme, že poloha rozhraní v jiném, libovolně vzdáleném bodě spadá přibližně do intervalu $\ell(\mathbf{x}) \pm \xi_{\perp}$. Formálně lze rozdíl mezi volným a vázaným rozhraním vyjádřit přítomností efektivního nízkofrekvenčního „cut-offu“ ξ_{\parallel}^{-1} v integrálech pro korelační funkci nebo hrubost:

$$\int_0^{\Lambda} dk k^{d-4} \rightarrow \int_{\xi_{\parallel}^{-1}}^{\Lambda} dk k^{d-4}. \quad (45)$$

U kritického ($t \rightarrow 0$) a úplného smáčení ($\delta\mu \rightarrow 0$) paralelní korelační délka diverguje jako $\xi_{\parallel} \sim t^{-\nu_{\parallel}}$ (kritické smáčení) a $\xi_{\parallel} \sim \delta\mu^{-\nu_{\parallel}^{\text{co}}}$ (úplné smáčení), což definuje kritické koeficienty ν_{\parallel} a $\nu_{\parallel}^{\text{co}}$. V důsledku této divergence dochází i k divergenci ξ_{\perp} , což je v konzistenci s předchozími závěry, nebo v tomto případě se rozhraní odpoutané od stěny stává volným.

Platnost OZ teorie je omezena oprávněností ukončení funkcionálního rozvoje (29) druhým řádem. Z této aproximace je zřejmé, že OZ teorie nezahrnuje celé spektrum fluktuací, ale pouze dlouhovlnné příspěvky, a nelze tedy předpokládat její obecnou platnost. Výsledky z ní plynoucí jsou stále na úrovni aproximace středního pole, její význam je vak přesto mimořádný. Jednak nám umožňuje nahlédnout do mikroskopické struktury tekutiny, a to skrze experimentálně měřitelné veličiny [14], a jednak lze do jisté míry vyúžit i k identifikaci re«imů, v nichž samotná OZ teorie již neplatí.

To, za jakých okolností je přítomnost fluktuací významná, lze odhadnout následujícím způsobem. V úvodu jsme si řekli, že pokud jsou fluktuace natolik velké, že rozhraní často „naráží do stěny“, a tedy $\xi_{\perp} \sim \langle \ell \rangle$, bude to znamenat pokles entropie systému, oproti volnému rozhraní (bez přítomnosti stěny). Každá srážka rozhraní se stěnou „stojí“ řádově k_B , a tedy ztráta (povrchová) hustoty entropie v důsledku přítomnosti stěny je řádově $\Delta s \approx -k_B/\xi_{\parallel}^{d-1}$. Přítomnost fluktuací má dále za následek energeticky nevýhodné zvlnění rozhraní, jehož „cenu“ lze odhadnout (viz. Obr. 5) z prvního členu v (28) jako $\Delta e \approx \gamma_{\text{lg}}(\xi_{\perp}/\xi_{\parallel})^2$. Z (44) plyne, že speciálně pro $d < 3$ (a jak vyplývá z dalšího, jen v tomto případě může být pro dalekosahové interakce vliv fluktuací významný) jsou energetické a entropické příspěvky fluktuací k volné energii stejného řádu

$$\Delta f_s = \Delta e - T\Delta s \sim \xi_{\parallel}^{1-d} \sim \xi_{\perp}^{2(d-1)/(d-3)}. \quad (46)$$

Jsou-li fluktuace významné $\xi_{\perp} \sim \langle \ell \rangle$, a jejich efekt lze zahrnout prostým přidáním dalšího interakčního členu do efektivního potenciálu. V případě kritického smáčení ($\delta\mu = 0$) víme, že v rámci teorie středního pole jsou podstatné první dva netriviální členy rozvoje (14), takže

$$W_{\text{H}}(\ell) = A(T)\ell^{-p} + B(T)\ell^{-q} + C(T)\ell^{-\tau} + \dots \quad (47)$$

kde $\tau = 2(d-1)/(3-d)$ a typicky $q = p+1$. Relativní významnost tohoto efektivního fluktuačního členu určuje odpovídající *fluktuační re«im*:

- $\tau > q$: **Re«im středního pole (MF)**. V tomto případě je fluktuační člen nepodstatný, a jeho přítomnost tak nemá na výsledky plynoucí z minimalizace (14) žádný vliv. Speciálně, divergence říky filmu $\ell_{\pi} \sim t^{-\beta_s}$ pro $T \rightarrow T_w$ je charakterizována kritickým koeficientem $\beta_s = 1/(q-p)$.
- $q \geq \tau > p$: **Re«im slabých fluktuací (WFL)**. V tomto re«imu je fluktuační člen druhý největší a nepodstatným se stává člen řádu ℓ^{-q} . Teplota smáčení, kterou určuje první člen, se tak oproti předpovědím teorie středního pole nemění, hodnoty kritických koeficientů ovšem ano, a to tak, že ve vech výrazech pro kritické exponenty τ nahradí q , takže například $\beta_s = 1/(\tau-p)$. Znamená to, že na rozdíl od klasických kritických exponentů (vyplývajících z teorie středního pole), jsou v tomto re«imu kritické exponenty závislé na dimenzi prostoru.
- $\tau \leq p$: **Re«im silných fluktuací (SFL)**. V tomto re«imu je chování rozhraní již naprosto dominováno fluktuacemi. V tomto případě již nelze pouze „opravit“ výsledky plynoucí z teorie středního pole, ale je třeba použít zcela jiné metody pro řešení partiční funkce $Z = \int \mathcal{D}\ell e^{-H[\ell]}$. V mnoha případech lze nalézt přesná řešení pomocí metody matice přechodu, což vede na řešení diferenciální rovnice Schrödingerova typu pro pravděpodobnost realizace stavu s daným rozhraním $\ell(\mathbf{x})$. Pro aproximativní řešení lze použít metody funkcionální renormalizační grupy [15].

Pro dimenzi $d = 3$ je efektivní fluktuační člen exponenciálně malý, jak vyplývá z (44), a nemůže tak konkurovat algebraicky ubýhajícími členům. V tomto případě existuje pouze MF re«im a jediný vliv fluktuací je zanedbatelně malá hrubost rozhraní $\xi_{\perp} \approx \sqrt{\ln \ell_{\pi}}$. Zanedbatelný efekt fluktuací pro třídídimenzionální systémy taktéž vyplývá z toho, že podmínka $q = \tau$ určuje mezní, tedy horní kritickou dimenzi pro kritické smáčení:

$$d^* = \frac{3q+2}{q+2}, \quad (48)$$

z níž vyplývá $d^* < 3$ pro libovolné konečné q , což je velmi důležitý výsledek. Dostáváme tedy, že pro fyzikálně nejrelevantnější třídu třídídimenzionálních systémů s (neretardovanými) van der Waalovými silami $d^* = 11/5$, a tedy že předpovědi teorie středního pole jsou pro tuto třídu systémů přesné. Situace je složitější pro systémy s krátkodosahovými silami pro něž $q = \infty$, nebo z (48) plyne, že v tomto případě $d^* = 3$.

Význam fluktuací pro úplné smáčení ($\delta\mu > 0$) je menší, přičemž existují pouze dva fluktuační re«imy. To vyplývá z tvaru efektivního potenciálu

$$W_{\text{H}}(\ell) = \delta\mu\ell + A(T)\ell^{-p} + C(T)\ell^{-\tau} + \dots, \quad (49)$$

kde opět $\tau = 2(d-1)/(3-d)$. Oproti případu kritického smáčení, není člen řádu ℓ^{-q} relevantní ani v re«imu středního pole, zato člen lineární v ℓ je relevantní vždy, a neexistuje tak SFL. Zcela formálně bychom mohli použít efektivního potenciálu ve tvaru (47) s tím, že koeficient $p = -1$ (a odpovídající faktor $a = \delta\mu$); relevance tohoto členu (a tedy nepřítomnost SFL) je pak zřejmá, neboť $\tau > 0$. Možné re«imy tedy jsou:

- $\tau > p$: **Re«im středního pole (MF)**. V tomto případě je vliv fluktuací zanedbatelný, tak«e výsledky teorie středního pole jsou přesné. Platí tedy například $\beta^{\text{co}} = 1/(p+1)$, $\alpha^{\text{co}} = (p+2)/(p+1)$ nebo $\nu_{\parallel}^{\text{co}} = (2+p)/2(p+1)$.
- $\tau \leq p$: **Re«im slabých fluktuací (WFL)**. V tomto případě dominují fluktuace a všechny kritické exponenty závisí pouze na d , a tedy například $\beta^{\text{co}} = (3-d)/(1+d)$, $\alpha^{\text{co}} = 4/(1+d)$ nebo $\nu_{\parallel}^{\text{co}} = 2/(1+d)$.

Horní kritickou dimenzi určuje tentokrát podmínka $p = \tau$, a tedy

$$d_{\text{co}}^* = \frac{3p+2}{p+2} \quad , \quad (50)$$

Vidíme tedy, «e i pro úplné smáčení je horní kritická dimenze $d_{\text{co}}^* < 3$ pro dlouhodobé potenciály a $d_{\text{co}}^* = 3$ pro krátkodobé potenciály. Speciálně, pro systémy s van der Waalsovými silami je pro $d = 3$ koeficient ν (49) $p = 2$, tak«e $d_{\text{co}}^* = 2$ a fluktuace nejsou tedy podstatné. Ovšem ve dvou dimenzích je tento exponent roven $p = 3$, a tedy $d_{\text{co}}^* = 11/5 > 2$ a fluktuace jsou ji« dominantní.

Srovnáme tyto výsledky se standardním kritickým chováním objemového systému. Připomeňme si, «e v tomto případě máme dvě kálovací pole, teplotu a například chemický potenciál, a obě musí nabýt konkrétních hodnot, aby bylo dosa«eno kritického bodu. To znamená, «e z celé množiny vech kritických koeficientů jsou pouze dva nezávislé a ostatní lze z nich odvodit z relací jako je např. (41). Za tyto dva nezávislé koeficienty se typicky bere ν a η . V případě kritického smáčení máme takté« dvě relevantní kálovací pole: kritický bod je dán podmínkami $\mu = \mu_0$ a $T = T_w$. Jak ovšem víme, na rozdíl od standardního kritického bodu je nyní $\eta = 0$, a existuje tak jediný nezávislý kritický koeficient (např. ν_{\parallel}), jeho« hodnota určuje i všechny ostatní. Pokud předpokládáme, «e je vliv fluktuací významný, dostáváme například z (46) *hyperkálovací relaci*

$$2 - \alpha = (d-1)\nu_{\parallel} \quad d \leq d^* \quad , \quad (51)$$

z které (známe-li ν_{\parallel}) získáme singulární chování volné energie, které nám umo«ní určit další kritické koeficienty. Tyto závěry souvisí s výše uvedenými výsledky tak, «e (pro danou dimenzi) lze všechny kritické koeficienty vyjádřit pomocí jediného parametru p . Jak je to v případě úplného smáčení? Úplné smáčení je jednoduší než kritické smáčení, nebo, zde figuruje pouze jediné kálovací pole, μ (podobně jako u fázových přechodů prvního druhu objemových systémů); teplota mů«e nabývat libovolných hodnot v intervalu (T_w, T_c) . Oproti kritickému smáčení tak máme jeté o jeden nezávislý parametr méně, a všechny kritické koeficienty jsou tedy vázány přímo na dimenzi systému.

Způsob, jakým jsme určili hodnoty horních kritických dimenzí pro kritické a úplné smáčení, vy«adoval výpočet koeficientu $\tau(d)$ rozměrovou analýzou. Je velmi ilustrativní ukázat, jak se horní kritické dimenze dají stanovit i bez této znalosti, a to pomocí kálovací metody, která je zárodkem teorie renormalizační grupy, ale její« výpočetní nároky jsou minimální. Začneme případem kritického smáčení. Víme, «e pro dimenze $d \leq d^*$ je relevantní pouze první (netriviální) člen rozvoje (14), tak«e stačí uva«ovat hamiltonián ve tvaru

$$H[\ell] = \int d^{d-1}x \left\{ \frac{\gamma_{\text{lg}}}{2} (\nabla \ell(\mathbf{x}))^2 + \tilde{A} t \ell^{-p} \right\} \quad , \quad (52)$$

kde jsme vyu«ili toho, «e $A(t) \sim t$ a definovali koeficient \tilde{A} , který je konečný pro $t \rightarrow 0$. Uva«ujme nyní kálovací transformaci

$$\begin{aligned} X &= x t^a \\ L &= \ell t^b \end{aligned} \quad (53)$$

kálovací exponenty a a b zvolíme tak, aby transformovaný hamiltonián ji« nezávisel na t , a nabyl tak formy

$$H[L] = \int d^{d-1}X \left\{ \frac{\gamma_{\text{lg}}}{2} (\nabla L(\mathbf{X}))^2 + \tilde{A} L^{-p} \right\} \quad , \quad (54)$$

co« vede k podmínkám $a = (2 + 3p - pd)/2(d-1)$ a $b = a(3-d)/2$. Nezávisí-li (54) na t , nemů«e ovšem na t záviset ani střední hodnota transformované ířky filmu, tzn. $\langle L \rangle = \mathcal{O}(1)$ je číslo, a musí tedy platit

$$\ell_{\pi} \sim t^{-b} \quad . \quad (55)$$

Zároveň víme, «e pro dimenze $d \geq d^*$ platí výsledek z teorie středního pole $\ell_{\pi} \sim t^{-\frac{1}{q-p}}$. Tyto dva výsledky se musí shodovat právě pro $d = d^*$, z čeho« vyplývá $d^* = (3q+2)/(q+2)$, v souladu s (48).

Podobně postupujeme pro úplné smáčení. Pro dimenze $d \leq d^*$ je nyní relevantní pouze první člen rozvoje (14), tak«e uva«ujeme hamiltonián ve tvaru

$$H[\ell] = \int d^{d-1}x \left\{ \frac{\gamma_{\text{lg}}}{2} (\nabla \ell(\mathbf{x}))^2 + \delta\mu \ell \right\}, \quad (56)$$

který vyjádříme v překálovaných proměnných

$$\begin{aligned} X &= x\delta\mu^a \\ L &= \ell\delta\mu^b, \end{aligned} \quad (57)$$

tak aby (56) ji« nezáviselo na $\delta\mu$, tedy

$$H[L] = \int d^{d-1}X \left\{ \frac{\gamma_{\text{lg}}}{2} (\nabla L(\mathbf{X}))^2 + L \right\}. \quad (58)$$

Z podmínek $a = 2/(d+1)$ a $b = (3-d)/(d+1)$ a známého výsledku z teorie středního pole $\ell_\pi \sim \delta\mu^{-\frac{1}{p+1}}$ dostáváme (50).

Ukázali jsme si, «e teoretické modely předvídají singulární chování volné energie při smáčení na rovině stěně, přičem« charakter těchto singularit závisí na dosahu mikroskopických interakcí, dimenzi systému a termodynamické cestě. Co se týče experimentálního ověření těchto predikcí, nejednoznačněji se ukazuje případ úplného smáčení, kde měření plně potvrzují teoretické výsledky [16]. Cesta $T \rightarrow T_w$ podél dvoufázové rovnováhy je experimentálně náročnější. Z hlediska řádu fázového přechodu se ukazuje, «e mo«né jsou oba případy, přičem« obecně platí, «e čím bli«e je teplota smáčení T_w kritické teplotě T_c , tím vyí je pravděpodobnost, «e smáčení bude spojitě (kritické). Z četných měření dále vyplývá, «e smáčení prvního druhu je v přírodě mnohem bě«nější. To vyplývá z toho, «e kritické smáčení klade podstatně restriktivnější podmínky na parametry mezimolekulárních interakcí. První experiment prokazující existenci kritického smáčení byl realizován teprve ke konci minulého století [17], a to pouze pro případ, kdy úlohu stěny hraje jiná kapalina. Pro pevnou stěnu nebylo kritické smáčení detegováno dodnes.

-
- [1] J. D. van der Waals, *Over de Continuïteit van den Gas- en Vloeïstoofstand*, PhD thesis, Leiden, The Netherlands (1873).
 - [2] T. Andrews, *Philosophical Transactions of the Royal Society of London* **159**, 575 (1869).
 - [3] Je mo«ná vhodné dodat, «e princip univerzality se objevuje u« v rámci samotné van der Waalsově rovnici a z ní vyplývajícího principu korespondujících stavů.
 - [4] Pierre-Gilles de Gennes, Françoise Brochard-Wyart, David Qué ré, *Capillarity and Wetting Phenomena*, Springer Science and Business Media, New York USA (2003)
 - [5] K. G. Wilson, *Phys. Rev. B* **4**, 3174 (1971).
 - [6] J. S. Rowlinson and B. Widom, *Molecular Theory of Capillarity* (Clarendon Press, Oxford, New York, 1982).
 - [7] J. W. Cahn, *J. Chem. Phys.* **66**, 3667 (1977).
 - [8] M. Moldover a J. W. Cahn, *Science* **207**, 1073 (1980).
 - [9] D. E. Sullivan, *Phys. Rev. B* **20**, 3991 (1979).
 - [10] Povrchové napětí tedy odpovídá minimu funkce $\tilde{\gamma}_{\text{sg}}(T, \delta\mu; \ell)$.
 - [11] J. E. Rutledge a P. Taborek, *Phys. Rev. Lett* **69**, 937 (1992).
 - [12] C. Ebner a W. F. Saam, *Phys. Rev. Lett.* **38**, 1486 (1977).
 - [13] R. Lipowsky and M. E. Fisher, *Phys. Rev. B* **36**, 2126 (1987).
 - [14] Fourierův obraz korelační funkce $\tilde{G}(k)$ souvisí se strukturním faktorem, který lze měřit rozptylovými metodami. OZ teorie vysvětluje divergenci strukturního faktoru pro $T \rightarrow T_c$, jejím« důsledkem je kritická opalescence.
 - [15] E. Brézin, B. I. Halperin a S. Leibler, *Phys. Rev. Lett.* **50**, 1387 (1983); D. S. Fisher a D. A. Huse, *Phys. Rev. B* **32**, 247 (1985).
 - [16] J. Krim, J. G. Dash, and J. Suzanne, *Phys. Rev. Lett.* **52**, 640 (1984).
 - [17] D. Ross, D. Bonn a J. Meunier, *Nature (London)* **400**, 737 (1999).